

DIFRACCION DE ONDAS DEBIDA A DISCONTINUIDADES GEOMETRICAS

Raírón Abascal García y José Domínguez Abascal

Cátedra de Estructuras
E.T.S. Ingenieros Industriales
Universidad de SEVILIA

Resumen. En esta comunicación se presenta una formulación mediante el Método de los Elementos de Contorno, y en el dominio de la frecuencia, aplicable a los fenómenos de difracción de ondas por sólidos de características no homogéneas. Presentándose la resolución de casos simples que permiten mostrar la validez e idoneidad del método utilizado.

1. INTRODUCCION

Para el diseño de estructuras bajo la hipótesis de excitación sísmica es fundamental conocer detalladamente la naturaleza y cuantía de las amplificaciones de los desplazamientos que se producen durante el terremoto. Las observaciones realizadas, en seísmos producidos recientemente, muestran que las zonas en las que producen grandes daños son muy localizadas. Dichas observaciones ponen de manifiesto que la intensidad de los movimientos producidos por un terremoto puede variar muy significativamente en distancias pequeñas. Estos hechos han llevado a pensar que la existencia de heterogeneidades en el terreno e irregularidades en la topografía de la zona, son factores fundamentales a tener en cuenta en el cálculo de las amplificaciones que se van a producir. El conjunto de fenómenos de reflexión y refracción que se producen al atravesar las ondas sísmicas estas irregularidades e inhomogeneidades, puede conducir a interferencias constructivas o destructivas, pudiendo presentarse amplificaciones menores o mayores de las que existirían en el caso de no existencia de éstas.

La resolución de estos problemas es normalmente muy compleja, habiendo sido abordada recientemente por métodos numéricos. En esta comunicación se abordarán, mediante el Método de los Elementos de Contorno en el dominio de la frecuencia (MOC) varios problemas, algunos próximos a situaciones reales, otros más alejados, pero que sirven para validar la utilización del método en este campo y arrojar luz sobre problemas similares más complejos. En primer lugar, se

se analizará el comportamiento de una cavidad circular en el espacio infinito, cuando su contorno es flexible y cuando éste es infinitamente rígido respecto del terreno, posteriormente, se obtendrá la respuesta de una inclusión circular rígida; todo ello cuando sobre ellas incidieren trenes de onda P 6 SV. Los resultados comparados con la solución exacta en forma de series; servirán para mostrar la validez de la teoría. Posteriormente, se contemplará el problema de la difracción de ondas por una inclusión semi-elíptica sobre el semiespacio elástico, realizándose un estudio en función de la rigidez relativa de la inclusión e incluyendo como caso límite el del cañón semi-elíptico.

2. DIFRACCION DE ONDAS EN EL ESPACIO COMPLEJO

En general los problemas de difracción se plantean a partir del principio de superposición, expresando el campo de desplazamientos y tensiones en el dominio del tiempo de un campo incidente $u^{(i)}$, $\dot{u}^{(i)}$, y del conjunto de campos reflejados y refractados $u^{(d)}$, $\dot{u}^{(d)}$ (que se analizarán por campo refractado), es decir

$$u = \dot{u}^{(i)} + u^{(d)} \quad (1)$$

$$\dot{u} = \dot{u}^{(i)} + \dot{u}^{(d)}$$

el cual, supuesta conocida la normal en el contorno, permite expresar el vector tensión sobre éste, como

$$T = T^{(i)} + T^{(d)} \quad (2)$$

considerándose el campo incidente conocido para cada frecuencia.

De los dos campos en los que se ha descompuesto el campo total, el incidente no cumple las condiciones de radiación, ya que se considera proviene del infinito. Esto es así en los problemas de origen sísmico, pero no genéricamente, considerándose por ejemplo, el producido por una explosión subterránea localizada, mientras que el difractado sí las cumple. Por tanto, como los medios en estudio tendrán carácter infinito o semiinfinito, será preciso plantear la representación integral

$$c_k(y) \backslash (y) = \int_{\Gamma} \left[\left(\frac{\partial u_i}{\partial n} \right)_{\Gamma} - T_k^i(x; y) u_i(x) \right] dA_x \quad (3)$$

que da lugar a la formulación del MEX; ver [1], sobre el campo difractado, de forma que las integrales sobre el infinito se anulen.

Considerándose en primer lugar, el caso de un dominio infinito del tipo rostrado en la Fig. 1, acotado entre las superficies S₁ y S₃, que se encuentra en el infinito, y constituido por dos subdominios R₁, acotado entre S₂ y S₃, y R₂, acotado entre S₁ y S₂; y supongase se conocen unas determinadas condiciones de contorno sobre la superficie S₁.

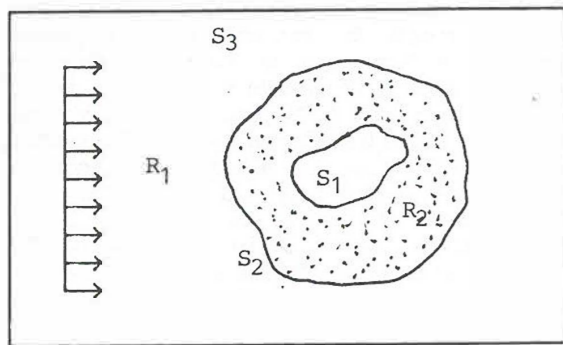


Figura 1

Plantear (3) para el campo total de desplazamientos en R₁ en un punto y E: S₂ se tendrá

$$c_k(y) \backslash (z) = \int_{S_2+S_3} \left[\left(\frac{\partial u_i}{\partial n} \right)_{\Gamma} - T_k^i(x; z) u_i(x) \right] dA \quad (4)$$

que para simplificar se indicará por

$$c_k^i(y) u_k(y) = I_{S_3} + I_{S_2} \quad (5)$$

la cual una vez tenida en cuenta (1) se convierte en

$$c_k^i(y) u_k(y) = I_{S_3}^{(i)} + I_{S_3}^{(d)} + I_{S_2} \quad (6)$$

Si ahora se considera el campo incidente, - Fig. 1, en un dominio cuyo contorno es S₃, el desplazamiento de cualquier punto y S₃ del interior de este dominio se podrá formular mediante (3), como punto interno (c_i^k(y) = 1).

$$u_k^{(i)}(y) = I_{S_3}^{(i)} \quad (7)$$

esta ecuación substituida en (6) y teniendo en cuenta las condiciones de radiación, que hacen que I_{S₃}^(d) sea nula, permite obtener

$$c_k^i(y) u_k(y) = I_{S_2} + u_i^{(i)}(y) \quad (8)$$

en la cual son incógnitas todos los desplazamientos y vectores tensión del campo total sobre S₂.

En el planteamiento de la representación integral (3) en R₂ sólo será preciso considerar el campo difractado, ya que el incidente no existe

$$c_k^i(y) u_k(y) = I_{S_1} + I_{S_2} \quad (9)$$

definidas I_{S₁} e I_{S₂} como se hizo en (5), y para todo punto y E S₁ ó y E S₂ considerados en R₂, y supuestas unas determinadas condiciones de contorno en S₁.

El acoplamiento de las ecuaciones (8) y (9), se realiza por medio de las ecuaciones de compatibilidad y equilibrio en S₂, lo cual da lugar a un sistema de ecuaciones cuya solución permite conocer el campo total de desplazamientos y tracciones sobre todos los contornos.

La generalización al caso en el que existan varios subdominios similares a R₂ o bien subdominios interiores a él de propiedades distintas, no presenta complicaciones adicionales y puede ser planteado en forma análoga.

3. ESPACIO AMPLEID. RESULTADOS

A lo largo de la exposición de los resultados obtenidos, se denominará ángulo de incidencia del tren de ondas, al comprendido entre el eje z y la dirección de dicho tren, habiéndose fijado la amplitud de los desplazamientos en el origen de coordenadas. Los potenciales elásticos de las ondas utilizados para definir el campo incidente tienen la siguiente forma

$$\begin{aligned} \varphi^{(i)} &= A \frac{1}{p} \exp\{-i [k_p (x \sin e_p^{(i)} - z \cos e_p^{(i)}) - \omega t]\} \\ \psi^{(i)} &= A \frac{1}{p} \exp\{-i [k_s (x \sin e_s^{(i)} - z \cos e_s^{(i)}) - \omega t]\} \end{aligned} \quad (10)$$

donde

$$A = \text{Amplitud} = 1; k_s = \frac{\omega}{c_s}; k_p = \frac{\omega}{c_p}$$

A continuación se presentan tres problemas simples: cavidad circular flexible, cavidad circular rígida e inclusiva circular, cuyas soluciones exactas, en forma de serie, se conocen en el caso del espesor infinito y ondas incidentes P ó SV, (Ref. [2] 6 [3]). Para su cálculo mediante el MEC se discretizará la circunferencia que las delimitan en segmentos rectos y se comparará la evolución del módulo de los desplazamientos con la frecuencia adimensional a₀ = ωR/c_s para dos discretizaciones distintas, - Fig. 2, de 14 y 42 elementos, y un contorno exterior con densidad 1, módulo de elasticidad transversal 4 y módulo de Poisson 1/4, habiéndose elegido para el radio de la circunferencia el valor unidad.

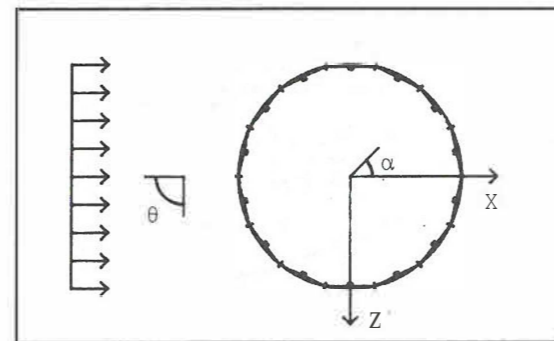


Figura 2.- Discretización

3.1. Cavidad circular flexible

En la Fig. 3 se muestra la evolución del módulo de los desplazamientos horizontales, en el caso de ondas P, y verticales, ondas SV, de dos puntos del contorno circular situados a ex = 12,87Q y 90Q, respectivamente, a medida que varía la frecuencia adimensional a₀ en un rango entre π/4 y 2π. En cada gráfica se dibujan los valores obtenidos numéricamente y la solución exacta pudiendo comprobarse la convergencia de los valores numéricos hacia la solución exacta a medida que el número de elementos aumenta.

3.2. cavidad circular, rígida

Los desplazamientos en un sólido rígido que se producen en una cavidad circular cuyo contorno no está rigidizado, ante la acción de un frente de ondas, pueden ser calculados resolviendo otro problema distinto: una de desplazamientos nulos de desplazamientos unitarios en las dos direcciones x, z y una última de giro unitaria respecto del centro de la cavidad, calculadas las resultantes de las tracciones y el momento producido por ellas respecto del centro, se resuelve la ecuación

$$[R_2; R_3; R_4] \{u\} = - \{R_1\} \quad (11)$$

y se obtienen los desplazamientos buscados.

En la Fig. 4 se muestran los producidos en las direcciones horizontal y vertical, ante la incidencia de ondas P y SV, respectivamente, frente a la solución exacta, observándose excelente concordancia.

3.3. Inclusión circular

Una última comparación con soluciones exactas se realiza con la inclusión en el espacio infinito. Para dicha comparación se ha elegido una geometría idéntica a la utilizada en los dos casos anteriores con un radio exterior de propiedades idénticas y un medio interior, la inclusión, en el que sólo se ha variado el módulo de elasticidad transversal dándole el valor 16. Los módulos de los desplazamientos horizontal y vertical de un punto de la interfase cavidad-medio exterior, situado a e = 90°, producidos por ondas P y SV, respectivamente, se dibujan en la Fig. 5 frente a la solución exacta. Asimismo, se observa como los resultados numéricos convergen hacia el exacto a medida que el número de elementos aumenta.

4. DIFRACCIÓN DE ONDAS EN EL SEMIESPACIO

En el caso de la difracción de ondas en el semi-espacio se van a considerar dos geometrías tipo, representadas en las Figs. 6 y 7. En este caso el campo incidente estará formado por el conjunto de ondas incidentes y reflejadas en la superficie libre de tracciones del semi-espacio considerado con las propiedades del subdominio R₁.

Si se considera en primer lugar la geometría de la Fig. 6 y se escribe la representación integral (3) para el campo difractado de desplazamientos en el subdominio R₁, se tendrá, para un punto y perteneciente a S₂ ó S₃

$$c_k^i(y) \backslash^{(d)}(y) = I_{S_2}^{(d)} + I_{S_3}^{(d)}; y \in (S_2 \cup S_3) \in R_2 \quad (12)$$

donde I_{S₂}^(d) y I_{S₃}^(d) tienen idéntica expresión que

en (5), pero referidas al campo difractado. Como el campo incidente de desplazamientos y tensiones es conocido y las tracciones del campo total son nulas sobre S₃, las incógnitas en

(12) serán las componentes de los desplazamientos sobre S₂ y S₃ y las de los vectores tensión sobre S₂. Si se formula la representación integral para un punto cualquiera del contorno del subdominio R₂, se obtiene

$$c_k^i(y) \backslash^{(d)}(y) = J_1^{(d)} + J_2^{(d)}; y \in (S_1 \cup S_2) \in R_1 \quad (13)$$

teniendo J la misma expresión que I pero referida a R₂. Ahora bien, en R₂ sólo existe campo difractado y por lo tanto de (12) se tiene

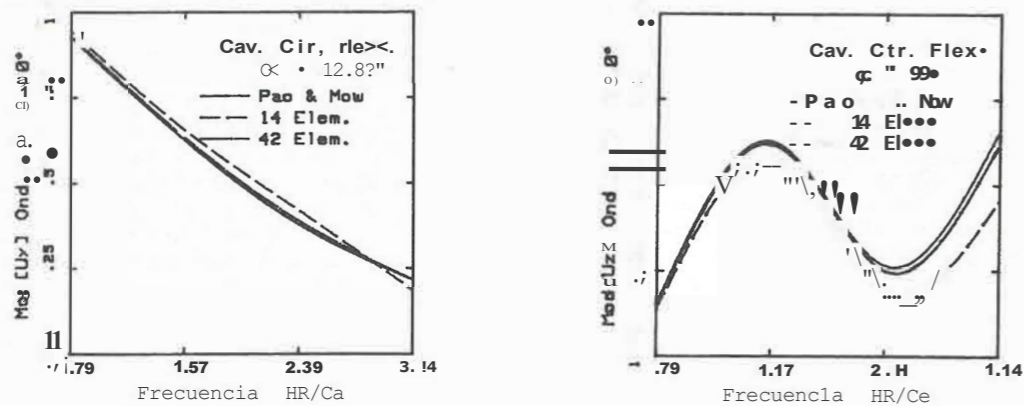


Figura 3.- Resultados Cuidad flexible.

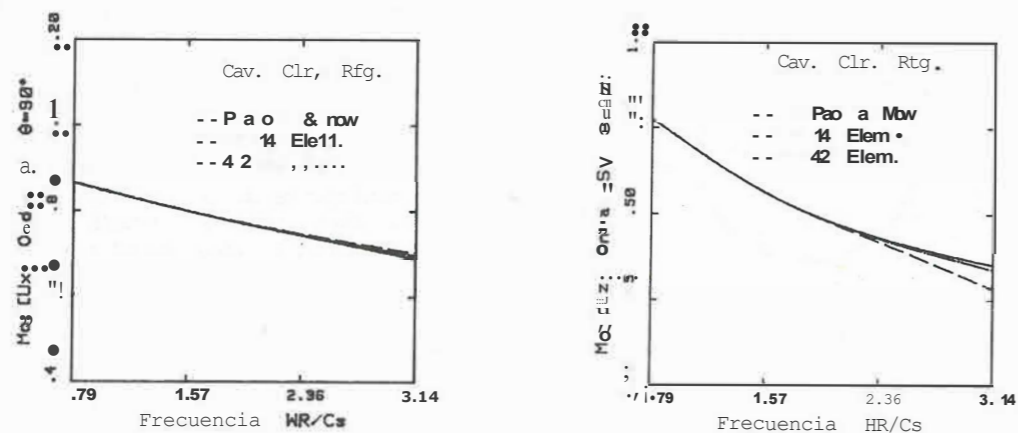


Figura 4.- Resultados Cuidad rigidizada.

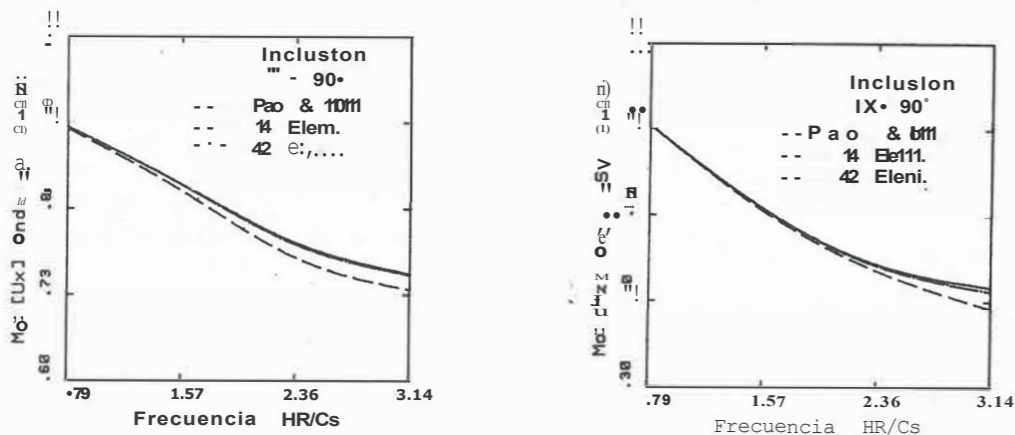


Figura 5.- Resultados Inclusion flexible.

$$c_1^{(i)}(y) u_k^{(i)}(y) = I_{S_2}^{(i)} + J_{S_1} \quad f16)$$

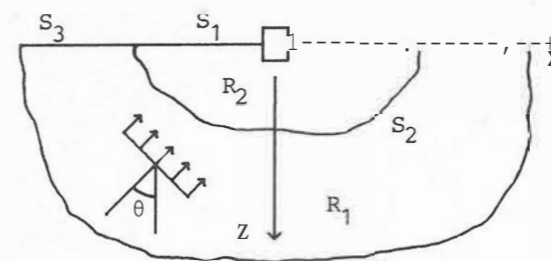


Figura 6

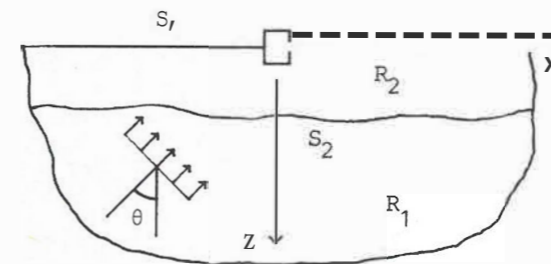


Figura 7

$$c_1^{(i)}(y) u_k^{(i)}(y) = I_{S_2}^{(i)} + \frac{r_8}{3} - \frac{r_8^{(i)}}{2} - \frac{r_5^{(i)}}{3} + c_1^{(i)}(y) u_k^{(i)}(y) \quad (14)$$

donde $I_{S_2}^{(i)}$, $r_8^{(i)}$ y $r_5^{(i)}$ son conocidos.

Si se considera ahora que a partir de un cierto punto de S_3 , el campo incidente es idéntico al total, lo cual es equivalente a desprestigiar la contribución del campo difractado, sólo será preciso discretizar parte de la superficie S_3 . Esta aproximación es similar a la que se efectúa en el cálculo de rigideces de circunferencia (ver [1]).

Para completar la solución del problema basta acoplar las ecuaciones (13) y (14) por medio de las ecuaciones de compatibilidad y equilibrio en la interfase S_2 de los dos subdominios.

En cuanto al problema de difracción de ondas en el semiespacio con geometría de la Fig. 7, el planteamiento es similar. la representación integral (3) en el contorno del dominio R_1 tiene la forma:

$$c_1^k(y) u_k(y) = I_{S_2} - I_{S_2}^{(i)} - I_{S_2}^{(i)} + c_1^k(y) u_k^{(i)}(y) \quad (15)$$

y en el R_2

las expresiones de las integrales $I^{(d)} = I_{S_2} - I_{S_2}^{(i)}$, J_{S_1} y J_{S_2} una vez discretizadas y supuesto que sobre S_1 y S_2 la contribución del campo difractado a la representación integral, se hace tender a medida que se avanza hacia el infinito, se puede llegar, una vez impuestas las condiciones de contorno sobre S_1 y efectuado el acoplamiento de (15) y (16) mediante las ecuaciones de compatibilidad y equilibrio S_2 , a un sistema de ecuaciones cuya solución proporciona una aproximación al campo total de desplazamientos y tracciones sobre S_1 y S_2 .

5. SEMIESPACIO. RESULTADOS

Como ejemplo tipo de difracción de ondas en un semiespacio se ha elegido un valle de aluvión de forma semi-elíptica sobre el cual inciden ondas P y SV con un determinado ángulo de incidencia, Fig. 8.

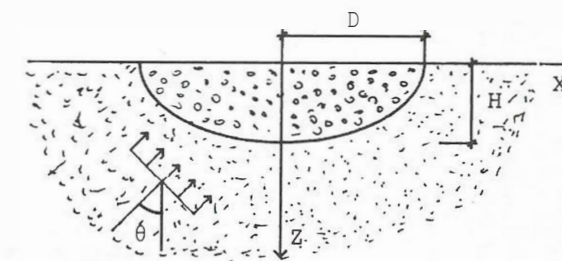


Figura 8.- Valle de aluvion semi-eliptico.

Los potenciales elegidos para la representación de los trenes de ondas incidentes son idénticos a los descritos en (10), pudiéndose obtener fácilmente a partir de ellos el campo "incidente" formado por estas ondas incidentes y las reflejadas en el superficie libre del semiespacio (ver por ejemplo [4]).

Las características del ejemplo utilizado han sido: relación entre los semiejes de la elipse $D/H = 2$, densidad 1, módulo de Poisson 1/3, porcentaje de amortiguamiento de las ondas $S=0$, siendo el módulo de elasticidad transversal del semiespacio de valor unidad, y habiéndose obtenido los resultados para una frecuencia adimensional $\omega = w D/c_8 = \pi/5$ (c_8 = velocidad de las ondas S en el semiespacio).

En la Fig. 9 se muestran los resultados obtenidos para los nodulos de los desplazamientos horizontales (ondas P, $e = 300$) y horizontales (ondas SV, $e = 150$) de la interfase valle-semiespacio, cuando las ondas inciden sobre valles de forma semi-elíptica a la descrita, pero cuya rigidez varía. Como índice de rigidez relativa se ha

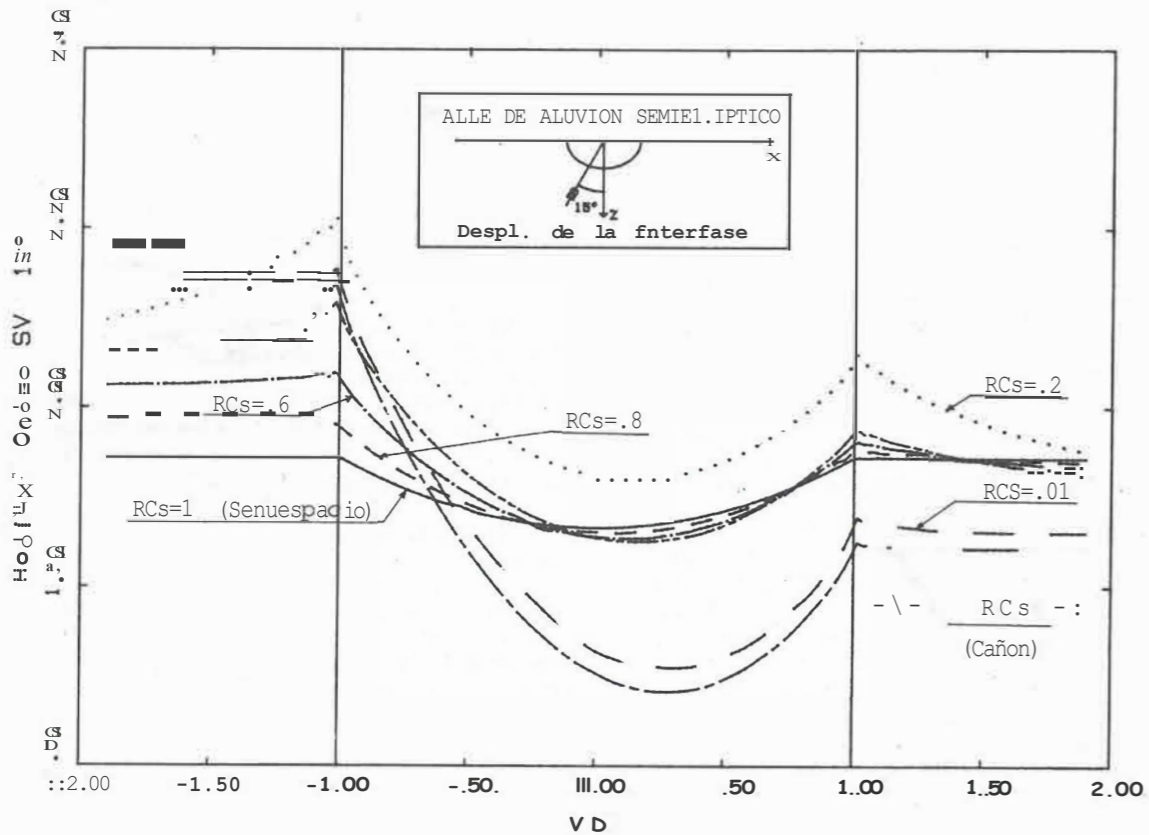
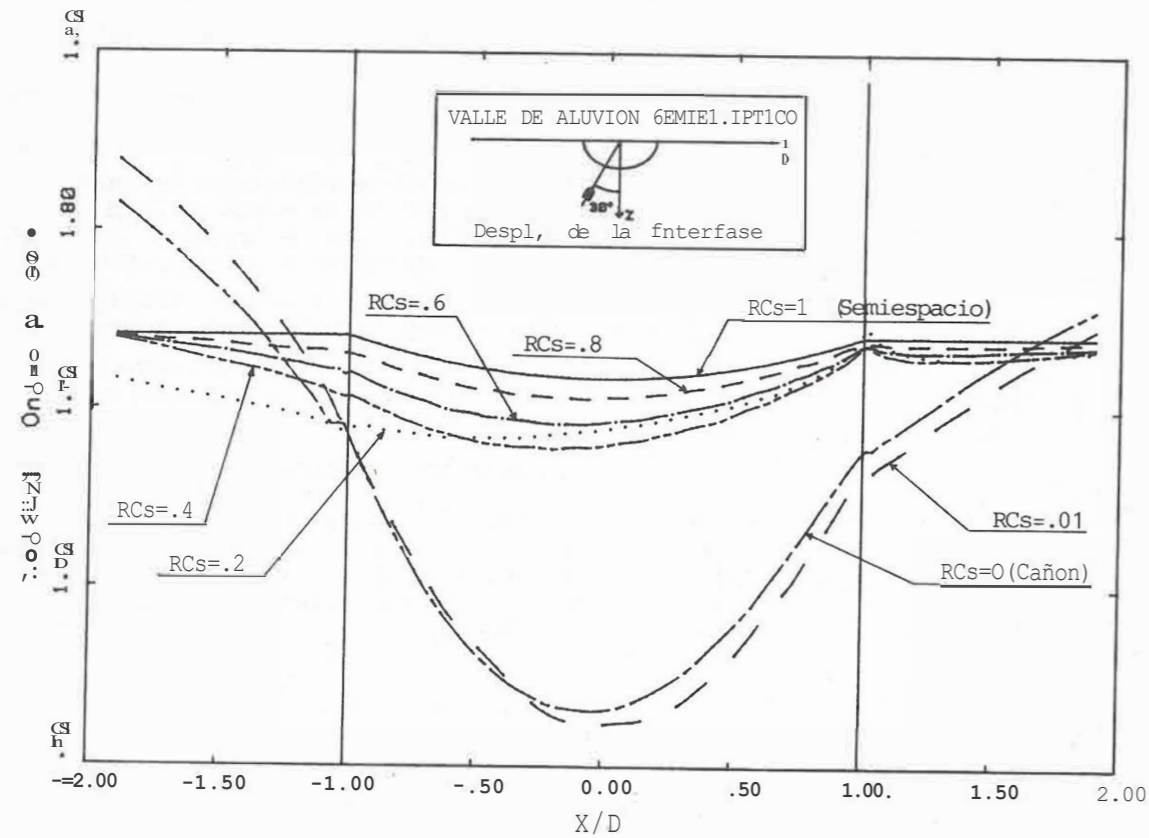


Figura 9.- Desplazamientos en la interfase Valle de aluvión-Semiespacio. Ondas P y SV.

elegido el parámetro $RC_s = \frac{v_s}{v_p}$ (es = velocidad de las ondas S en el valle), el cual se ha hecho variar entre 1 (correspondiente al semi-espacio) y 0 (correspondiente al cañón), lo cual permite observar la influencia de la rigidez de los sedimentos de aluvión sobre la respuesta ante trenes de ondas tales como las descritas.

6. CONCLUSIONES

En esta comunicación se ha presentado la formulación del todo de los Elementos de Contorno en el análisis de la frecuencia, para el estudio de fenómenos de difracción de ondas en medios infinitos y semi-infinitos, de características no homogéneas.

Se han presentado asimismo, los resultados obtenidos para el caso de ondas incidentes sobre cavidades circulares, rígidas o flexibles, inclusiones y valles de aluvión.

Todo ello permite el estudio de una gama amplia de problemas relacionados con la Dinámica de Sólidos y en particular, con los fenómenos de Interacción Suelo-Estructura.

7. REFERENCIAS

1. Abascal R. "Estudio de Problemas Dinámicos en Interacción Suelo-Estructura por el Método de los Elementos de Contorno". Tesis Doctoral, E.T.S. Ingenieros Industriales Sevilla, Abril 1984.
2. Pao Y.H. y Mow e.e. "Diffracción of Elastic Waves and Dynamic Stress Concentration". Crane Russak, New York, 1971.
3. Eringer A.C. y Suhubi E. "Elastodinámica" Vol. II, Linear Theory. Academic Press, 1975.
4. Piant W.L. "Elastic Waves in the Earth". Elsevier Scientific Publishing Company. Developments in Solid Earth Geophysics, 11, 1979.